

СТРУКТУРА, ФАЗОВЫЕ ПРЕВРАЩЕНИЯ  
И ДИФФУЗИЯ

УДК 669.3:621.762

МОДИФИЦИРОВАНИЕ МЕДИ ОКСИДОМ АЛЮМИНИЯ  
В ХОДЕ МЕХАНИЧЕСКИ СТИМУЛИРОВАННОЙ РЕАКЦИИ

© 2023 г. Т. Ф. Григорьева<sup>a,\*</sup>, Т. Л. Талако<sup>b</sup>, Е. Т. Девяткина<sup>a</sup>, С. В. Восмериков<sup>a</sup>,  
А. И. Анчаров<sup>a,c</sup>, С. В. Цыбуля<sup>d</sup>, П. А. Витязь<sup>e</sup>, Н. З. Ляхов<sup>a,f</sup>

<sup>a</sup>Институт химии твердого тела и механохимии СО РАН, ул. Кутателадзе, 18, Новосибирск, 630090 Россия

<sup>b</sup>Отделение Физико-Технических наук НАНБ, пр. Независимости, 66, Минск, 220072 Республика Беларусь

<sup>c</sup>Институт ядерной физики им. Г.И. Будкера СО РАН, пр. Акад. Лаврентьев, 11, Новосибирск, 630090 Россия

<sup>d</sup>Институт катализа им. Г.К. Борескова СО РАН, пр. Акад. Лаврентьев, 5, Новосибирск, 630090 Россия

<sup>e</sup>Объединенный институт машиностроения НАНБ, ул. Академическая, 12, Минск, 220072 Республика Беларусь

<sup>f</sup>Новосибирский государственный университет, Факультет естественных наук,  
ул. Пирогова, 1, Новосибирск, 630090 Россия

\*e-mail: grig@solid.nsc.ru

Поступила в редакцию 18.07.2022 г.

После доработки 15.11.2022 г.

Принята к публикации 21.11.2022 г.

Методами ИК-спектроскопии, электронной микроскопии и рентгеноструктурного анализа, в том числе с использованием синхротронного излучения, изучены процессы механохимического восстановления оксида меди алюминием при стехиометрическом соотношении компонентов, а также в присутствии избытка оксидобразующего металла и твердого раствора алюминия в меди. Показана возможность механохимического восстановления оксида меди алюминием и твердым раствором алюминия в меди с формированием композитной структуры Cu/Al<sub>2</sub>O<sub>3</sub>. Для модификации меди оксидом алюминия предпочтительным является твердый раствор алюминия в меди.

**Ключевые слова:** механически стимулированные реакции, механохимическое восстановление, оксид меди, твердый раствор алюминия в меди, алюминий, медь

**DOI:** 10.31857/S0015323022600915, **EDN:** KPAUGG

## ВВЕДЕНИЕ

Медь обладает высокой электро- и теплопроводностью, стойкостью к коррозии, и эти качества позволяют широко использовать ее в производстве проводов, кабеля, радиаторов и бесшовных трубопроводов для транспортировки газов и воды. Однако медь имеет относительно низкую твердость и механическую прочность, что приводит к необходимости применения модифицирующих упрочняющих добавок, в качестве которых широко используются термодинамически устойчивые оксиды [1–9], например, оксид алюминия.

Известно, что введение в расплав шихты малого количества наноразмерных наполнителей оказывает модифицирующее действие и способствует повышению твердости, микротвердости, износостойкости получаемых композиционных материалов вследствие увеличения количества центров кристаллизации и формирования мелкозернистой структуры, а также за счет механизма дисперсного упрочнения [10, 11].

Природа наполнителя, его количество в металлической матрице и особенно его смачиваемость металлом оказывают влияние как на структуру, так и на свойства металломатричных композитов. Смачивание определяет прочность адгезионных связей, и в случае отсутствия смачивания частиц упрочняющей фазы расплавленной матрицей на границе раздела образуются поры, что может являться причиной снижения прочностных характеристик материала и его пластичности.

Оксидные фазы не смачиваются металлами, и обеспечить смачиваемость возможно плакированием их металлами. Одним из решений этой проблемы является синтез оксидов непосредственно в металлической матрице. Перспективным методом получения таких материалов является механохимический синтез. В условиях интенсивных механических воздействий в высокоэнергетических активаторах планетарного типа реализуются различные физико-химические процессы, приводящие к изменению структурного состояния веществ с формированием большой контактной поверхности между исходными компонентами и

интенсификации химических реакций. Химические взаимодействия могут быть реализованы в локальных объемах вещества в процессе каждого соударения как с постепенной реализацией превращения, так и с инициированием реакции горения в объеме смеси с высокой скоростью протекания (механически стимулированные самораспространяющиеся реакции). Одним из возможных типов химического взаимодействия с протеканием реакций горения являются окислительно-восстановительные реакции в экзотермических смесях оксидов с активными металлами. Ранее было показано, что использование механически стимулированных реакций (MCP) при восстановлении оксида железа алюминием позволяет сформировать оксид алюминия в матрице алюминида железа [12]. При стехиометрическом соотношении оксида железа и алюминия реакция восстановления проходит в режиме теплового взрыва, и в продуктах реакции, кроме оксида алюминия, образуется значительное количество (до 20 мас. %) герцинита,  $\text{Fe}_x\text{Al}_{2-x}\text{O}_4$ . Высокоэкзотермические реакции восстановления оксидов переходных металлов (например, железа и никеля) могут быть проведены в присутствии избыточного содержания как металла-восстановителя, так и оксидобразующих металлов [13]. При увеличении содержания металла-восстановителя температуры реакций восстановления снижаются, и основными продуктами реакций являются интерметаллиды [12].

Целью работы было сравнительное изучение механохимического взаимодействия оксида меди с медью и механически стимулированных реакций взаимодействия оксида меди с алюминием и твердым раствором алюминия в меди.

## ЭКСПЕРИМЕНТАЛЬНАЯ ЧАСТЬ

В экспериментах были использованы порошки оксида меди (ТУ 6-09-02-391-85), меди (ПМС-1) и алюминия ПА-4 и порошок твердого раствора алюминия в меди, механохимический синтез и структурно-морфологические характеристики которого описаны в [14, 15].

Механохимическое взаимодействие компонентов изучали в смесях  $\text{CuO} + \text{Al}$  и  $\text{CuO} + \text{Cu}(\text{Al})$  при стехиометрическом соотношении оксида меди и алюминия, рассчитанном на полное восстановление оксида, а также в смеси  $\text{CuO} + \text{Cu}$ . Все эксперименты осуществляли в высокоэнергетической шаровой планетарной мельнице АГО-2 с водяным охлаждением, в атмосфере аргона. Объем барабана 250 см<sup>3</sup>, диаметр шаров 5 мм, загрузка шаров 200 г, навеска обрабатываемого образца 10 г, скорость вращения барабанов вокруг общей оси ~1000 об/мин [16].

ИК-спектроскопические исследования проводили на ИК-спектрометре Tensor-27 в диапазоне 4000–400 см<sup>-1</sup>.

Рентгеноструктурные исследования проводили на дифрактометре D8 Advance, Bruker ( $\text{CuK}_\alpha$ -излучение, Ni-фильтр, позиционно-чувствительный детектор VANTEC1, шаг  $\Delta 2\theta = 0.021^\circ$ ). Фазовый состав образцов и кристаллическую структуру фаз определяли по данным рентгеновской дифракции с использованием программного пакета DIFFRAC<sup>plus</sup>: EVA [17] и базы данных Международного центра дифракционных данных (ICDD) PDF4. Параметры элементарных ячеек существующих фаз рассчитывали методом наименьших квадратов с использованием программы Celref. Количественное содержание фаз определяли из полнопрофильного анализа по методу Ритвельда [18] с использованием программного пакета DIFFRAC<sup>plus</sup>: TOPAS.

Дифракционные исследования проводили также на станции 4-го канала синхротронного излучения (СИ). Использован метод, при котором тонкий пучок ( $0.4 \times 0.4$  мм) монохроматического излучения ( $\lambda = 0.3686$  Å) проходит сквозь тонкий слой образца и дает дифракционную картину, регистрируемую плоским двухмерным детектором. Для регистрации дифрагированного излучения использована детектирующая система на основе запоминающего экрана MAR345 Marresearch [19].

Морфологические характеристики получены с использованием растрового электронного микроскопа JEOL 6601 LV. Изображения получены во вторичных электронах при ускоряющем напряжении 20 кВ с увеличением до  $\times 10000$ .

Замешивание механокомпозита  $\text{Cu}/\text{Al}_2\text{O}_3$  в расплав меди осуществляли с помощью установки с низкочастотными колебаниями [20].

## РЕЗУЛЬТАТЫ И ОБСУЖДЕНИЕ

Реакция восстановления оксида меди алюминием ( $3\text{CuO} + 2\text{Al} = \text{Al}_2\text{O}_3 + 3\text{Cu}$ ) является высокоэкзотермической ( $\Delta H_{298} \approx -801$  кДж/моль [21]). Полагают, что механически стимулированные реакции, как и в случае классического самораспространяющегося высокотемпературного синтеза, имеют место при адиабатических температурах [22]. Адиабатическая температура восстановления оксида меди алюминием чрезвычайно высока [23].

ИК-спектроскопические исследования этого процесса в условиях механической активации (МА) показали, что после МА в течение 40 с в ИК-спектре появляются валентные и деформационные полосы поглощения  $\alpha\text{-Al}_2\text{O}_3$ . Если в ИК-спектре исходного образца имеется полоса с двумя максимумами 575 и 520 см<sup>-1</sup>, принадлежа-

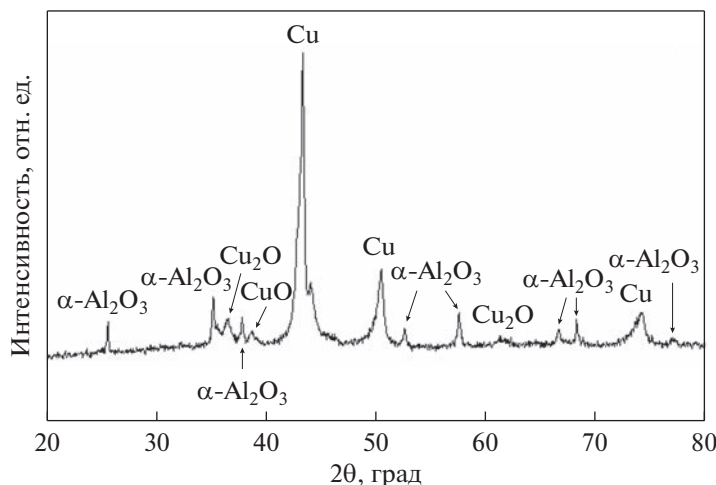


Рис. 1. Дифрактограмма смеси  $3\text{CuO} + 2\text{Al}$  после МА в течение 40 с.

щими валентным колебаниям связи  $\text{v Cu(II)}-\text{O}$ , то после МА в течение 40 с появляются полосы с максимумами  $650, 615 \text{ см}^{-1}$ , плечо  $790$  и  $455 \text{ см}^{-1}$ , характерные для алюминия в октаэдрическом окружении, принадлежащие валентным колебаниям  $\text{Al}-\text{O}$ .

Дифракционные исследования также свидетельствуют об образовании  $\alpha\text{-Al}_2\text{O}_3$  и восстановлении меди при МА в течение 40 с (рис. 1), однако в продуктах реакции присутствуют небольшие количества  $\text{Cu}_2\text{O}$  и  $\text{CuO}$ .

Поскольку реакция восстановления оксида меди алюминием высокоэкзотермична, химическое взаимодействие идет с очень высокой скоростью, при этом достигаются высокие температуры, в этих условиях в продуктах реакции кроме

меди и оксида алюминия присутствуют  $\text{Cu}_2\text{O}$  и  $\text{CuO}$ . Снижение температуры синтеза возможно при введении в реакционную смесь в качестве разбавителя тех же соединений, которые образуются в процессе реакции, например, меди [24].

#### Система $\text{CuO}-\text{Cu}$

Для того чтобы оценить влияние меди на процесс механохимического восстановления оксида меди твердым раствором алюминия в меди, было проведено исследование механохимического взаимодействия оксида меди с медью.

ИК-спектроскопическое изучение продуктов взаимодействия в смеси  $\text{CuO} + \text{Cu}$  при различной продолжительности активации показало, что уже после 40 с активации заметно появление низшего оксида  $\text{Cu}_2\text{O}$  (рис. 2, кривая 2): на полосе с двумя максимумами  $520$  и  $575 \text{ см}^{-1}$ , принадлежащей валентным колебаниям в  $\text{Cu}-\text{O}$  оксида двухвалентной меди ( $\text{CuO}$ ), появляется плечо  $635 \text{ см}^{-1}$ , положение которого соответствует полосе характерических валентных колебаний связей  $\text{Cu}-\text{O}$  оксида одновалентной меди ( $\text{Cu}_2\text{O}$ ). При дальнейшей активации его интенсивность увеличивается, и к 12 минутам активации практически весь оксид  $\text{CuO}$  превращается в  $\text{Cu}_2\text{O}$  (рис. 2, кривая 3).

Рентгенофазовый анализ также свидетельствует о несомненном наличии фазы  $\text{Cu}_2\text{O}$  после 1 мин активации (рис. 3), при этом размер областей когерентного рассеяния (OKP) этой фазы составляет  $\sim 7 \text{ нм}$ . Размер OKP фазы  $\text{CuO} \sim 15 \text{ нм}$ , меди  $\sim 40 \text{ нм}$ . Через 12 мин активации на дифрактограммах смеси имеются отражения фаз  $\text{Cu}$  и  $\text{Cu}_2\text{O}$ , размеры OKP их составляют  $\sim 10 \text{ нм}$ .

Проведенные исследования показали, что механохимически из смеси оксида меди  $\text{CuO}$  с медью может быть синтезирован низший оксид ме-

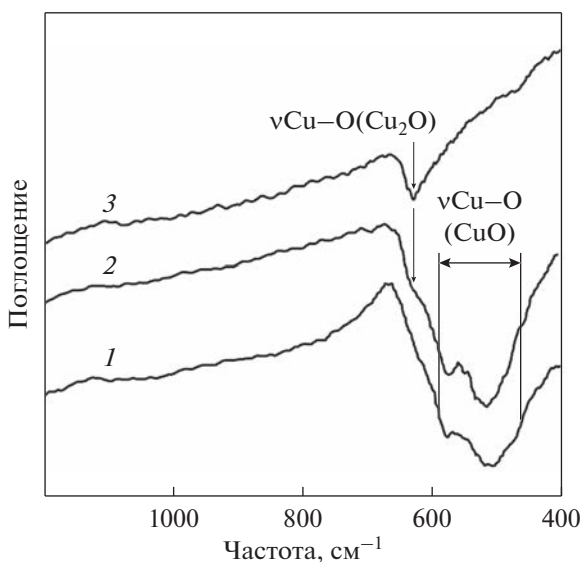


Рис. 2. ИК-спектры смеси  $\text{CuO} + \text{Cu}$  после активации в течение (1) 20, (2) 40 с, (3) 12 мин.

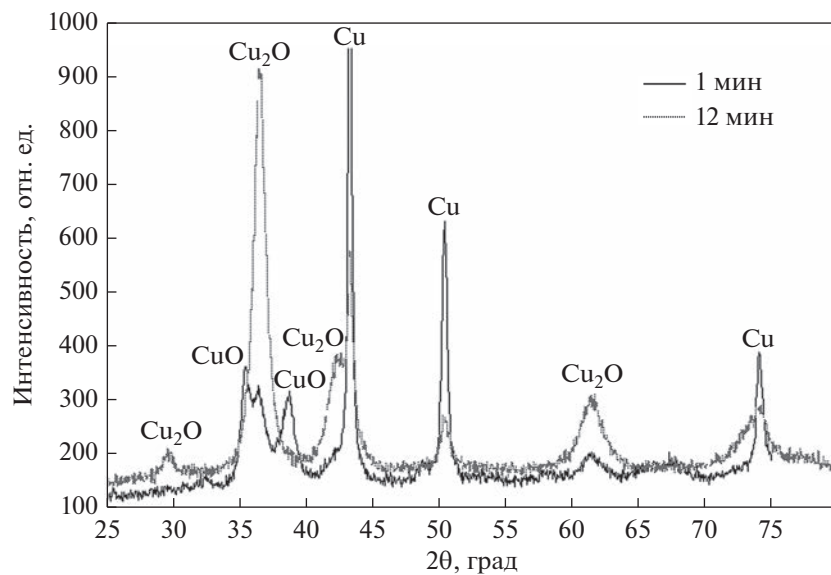


Рис. 3. Дифрактограммы смеси  $\text{Cu} + \text{CuO}$  после механической активации в течение 1 и 12 мин.

ди  $\text{Cu}_2\text{O}$ , т.е. медь также может вносить свой вклад в восстановление оксида меди, но он менее значителен, поскольку восстановление алюминием идет со значительно большей скоростью.

#### *Система $\text{CuO}-\text{Cu(Al)}$*

Для увеличения содержания меди при сохранении стехиометрического соотношения оксида меди и алюминия в качестве восстановителя был использован механохимически полученный твердый раствор алюминия в меди, содержащий 10% алюминия [14]:  $\text{CuO} + \text{Cu(Al)} \rightarrow \text{Al}_2\text{O}_3 + \text{Cu}$ .

ИК-спектроскопическое исследование взаимодействия оксида меди с твердым раствором  $\text{Cu(Al)}$  показало, что процесс начинается к концу второй минуты механической активации. Интенсивность полосы валентных колебаний в  $\text{Cu}-\text{O}$  к этому времени уменьшается, полоса становится размытой, что может свидетельствовать о нарушениях в структуре оксида меди. Последующая активация в течение 10 с ведет к значительным изменениям в ИК-спектрах, появляются четкие полосы валентных и деформационных колебаний октаэдров  $[\text{AlO}_6]$ , что характерно для фазы  $\alpha\text{-Al}_2\text{O}_3$ .

Проведенный рентгенофазовый анализ с использованием СИ показал, что уже после 10 с МА в смеси кроме исходных компонентов образуется оксид  $\text{Cu}_2\text{O}$ . При последующей механической активации в течение 90 с, кроме уменьшения размеров ОКР существующих фаз (о чем свидетельствует снижение интенсивностей и уширение рефлексов на дифрактограмме), никаких существенных изменений в системе не происходит (рис. 4).

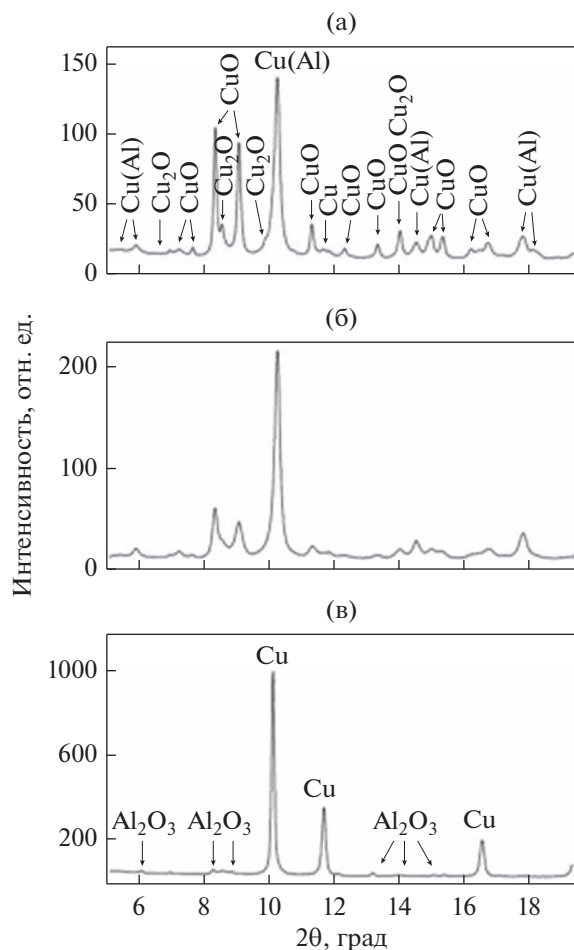


Рис. 4. Дифрактограммы смеси  $\text{CuO} + \text{Cu(Al)}$  после МА в течение: 10 с (а), 1 мин 40 с (б), 1 мин 50 с (в).

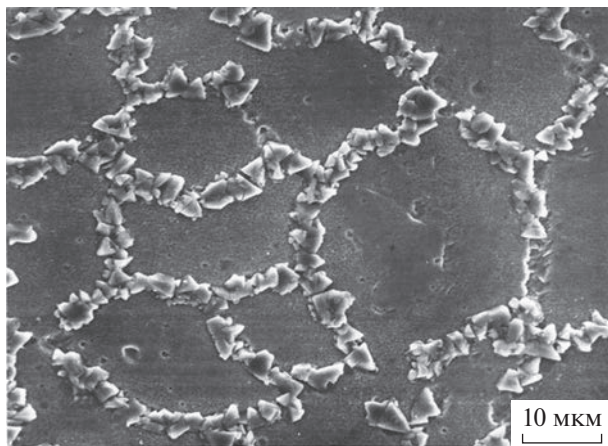


Рис. 5. СЭМ-изображение распределения частиц  $\text{Al}_2\text{O}_3$  в литой меди.

Можно предположить, что на этом этапе между компонентами формируется развитая контактная поверхность, в результате чего следующие 10 с механической обработки приводят к резкому изменению фазового состава: восстановлению меди и образованию  $\text{Al}_2\text{O}_3$ . Таким способом могут быть сформированы нанокомпозиты  $\text{Cu}/\text{Al}_2\text{O}_3$  с различным содержанием меди.

Проведенные исследования показали, что при механической активации смеси оксида меди с твердым раствором алюминия в меди (количество алюминия в твердом растворе соответствует стехиометрическому составу  $3\text{CuO} + 2\text{Al}$ ) формируется композит  $\text{Cu}/\text{Al}_2\text{O}_3$ . Этот композиционный материал полностью замешивается в расплав меди. Данные электронной микроскопии подтверждают, что кристаллиты оксидной фазы распределяются по границам зерен литой меди (рис. 5).

## ЗАКЛЮЧЕНИЕ

Механохимическое взаимодействие оксида меди со стехиометрическим количеством алюминия идет с чрезвычайно высокой скоростью и при высоких температурах. Продуктами реакции являются  $\text{Cu}$  и  $\alpha\text{-Al}_2\text{O}_3$  с небольшими примесями  $\text{Cu}_2\text{O}$  и  $\text{CuO}$ .

При взаимодействии оксида меди с медью при тех же условиях наблюдается восстановление оксида меди до  $\text{Cu}_2\text{O}$ .

При механохимическом восстановлении оксида меди твердым раствором  $\text{Cu}(10 \text{ мас. \% Al})$  с сохранением стехиометрического соотношения оксида меди и алюминия формируется высокодисперсный оксид  $\alpha\text{-Al}_2\text{O}_3$  в матрице меди. Полученный материал может быть использован в качестве лигатуры для модификации пластичных металлов с целью их упрочнения.

В дальнейших исследованиях будут подробно рассмотрены эффекты модификации и возможности более тонкого распределения оксидов в структуре литого модифицированного материала.

Работа выполнена в рамках государственного задания ИХТТМ СО РАН, № государственной регистрации 121032500062-4.

## СПИСОК ЛИТЕРАТУРЫ

1. Kang Y.-Ch., Chan S. Tensile properties of nanometric  $\text{Al}_2\text{O}_3$  particulate-reinforced aluminum matrix composites // Mater. Chem. Phys. 2004. V. 85. P. 438–443.
2. Hesabi Z.R. Structural evolution during mechanical milling of nanometric and micrometric  $\text{Al}_2\text{O}_3$  reinforced Al matrix composites // Mater. Sci. Eng. A. 2006. V. 428. P. 159–168.
3. Ozdemir I., Ahrens S., Mücklich S., Wielage B. Nanocrystalline  $\text{Al}-\text{Al}_2\text{O}_3\text{p}$  and  $\text{SiCp}$  composites produced by high-energy ball milling // J. Mater. Process. Technol. 2008. V. 205. № 1–3. P. 111–118.
4. Poirier D., Drew R.A.L., Trudeau M.L., Gauvin R. Fabrication and properties of mechanically milled alumina/aluminium nanocomposites // Mater. Sci. Eng. A. 2010. V. 527. P. 7605–7614.
5. Khorshid M.T., Jahromi S.A.J., Moshksar M.M. Mechanical properties of tri-modal Al matrix composites reinforced by nano- and submicron-sized  $\text{Al}_2\text{O}_3$  particulates developed by wet attrition milling and hot extrusion // Mater. Design. 2010. V. 31. № 8. P. 3880–3884.
6. Razavi-Tousi S.S., Yazdani-Rad R., Manafi S.A. Effect of volume fraction and particle size of alumina reinforcement on compaction and densification behavior of  $\text{Al}-\text{Al}_2\text{O}_3$  nanocomposites // Mater. Sci. Eng. A. 2011. V. 528. P. 1105–1110.
7. Mazahery A., Abdizaden H., Baharvandi H.R. Development of high-performance A356/nano- $\text{Al}_2\text{O}_3$  composites // Mater. Sci. Eng. A. 2009. V. 518. P. 61–64.
8. Mazahery A., Ostadshabani M. Investigation on mechanical properties of nano- $\text{Al}_2\text{O}_3$ -reinforced aluminium matrix composites // J. Comp. Mater. 2011. V. 45. № 24. P. 2579–2586.
9. Mula S., Padhi P., Panigrahi S.C., Pabi S.K., Ghosh S. On structure and mechanical properties of ultrasonically cast  $\text{Al}-2\%$   $\text{Al}_2\text{O}_3$  nanocomposite // Mater. Res. Bull. 2009. V. 44. P. 1154–1160.
10. Das D., Samanta A., Chattopadhyay P.P. Synthesis of bulk nano- $\text{Al}_2\text{O}_3$  dispersed Cu-matrix composite using ball milled precursor // Mater. Manuf. Process. 2007. V. 22. № 4. P. 516–524.
11. Христенко В.В., Кириевский Б.А. Перспективные методы дисперсного упрочнения сплавов на основе меди для изготовления электродов контактной сварки // Наука та інновації. 2005. Т. 1. № 6. С. 84–90.
12. Григорьева Т.Ф., Киселева Т.Ю., Петрова С.А., Талако Т.Л., Восмериков С.В., Удалова Т.А., Девятынина Е.Т., Новакова А.А., Ляхов Н.З. Механохимически стимулированные реакции восстановления оксида железа алюминием // ФММ. 2021. Т. 122. № 6. С. 614–620.

13. *Grigorieva T., Talako T., Vitiaz P., Lyakhov N., Letsko A., Barinova A.* Structure Peculiarities of Nanocomposite Powder  $\text{Fe}_{40}\text{Al}/\text{Al}_2\text{O}_3$  Produced by MASHS // Mater. Sci. Forum. 2007. V. 534–536. P. 1421–1424.
14. Григорьева Т.Ф., Петрова С.А., Ковалева С.А., Киселева Т.Ю., Жолудев С.И., Восмериков С.В., Удалова Т.А., Девяткина Е.Т., Поляков С.Н., Ляхов Н.З. Механохимическое формирование твердого раствора алюминия в меди // ФММ. 2021. Т. 122. № 4. С. 396–401.
15. Григорьева Т.Ф., Петрова С.А., Ковалева С.А., Дудина Д.В., Батраев И.С., Киселева Т.Ю., Жолудев С.И., Восмериков С.В., Девяткина Е.Т., Удалова Т.А., Поляков С.Н., Ляхов Н.З. Механохимический синтез порошков сплавов системы Cu–Al и их консолидация методом электроискрового спекания // ФММ. 2021. Т. 122. № 7. С. 729–736.
16. Аввакумов Е.Г. Механические методы активации химических процессов. Новосибирск: Наука, Сиб. отд., 1986. 302 с.
17. DIFFRAC<sup>plus</sup>: EVA. Bruker AXS GmbH, Ostliche. Rheinbruckenstraße 50, D-76187, Karlsruhe, Germany, 2008.
18. Rietveld H.M. A Profile Refinement Method for Nuclear and Magnetic Structures // J. Appl. Crystallogr. 1969. V. 2. P. 65–71.
19. Anchakov A.I., Manakov A.Yu., Mezentsev N.A., Sheromov M.A., Tolochko B.P., Tsukanov V.M. New station at 4th beamline of the VEPP-3 storage ring // Nuclear Instruments and Methods in Physics Research. 2001. V. A 470. P. 80–83.
20. Игнатьев И.Э., Киселев А.В., Долматов А.В., Концевой Ю.В., Пастухов Э.А., Игнатьева Е.В., Попова Э.А., Бодрова Л.Е. Математическое моделирование движения жидкости в цилиндрическом сосуде, возбуждаемого поршнем-вибратором // Расплавы. 2006. № 6. С. 3–11.
21. Подергин В.А. Металлотермические системы. М.: Металлургия, 1992. 272 с.
22. Munir Z., Anselmi-Tamburini V. Self-Propagating Exothermic Reactions: The Synthesis of High-Temperature Materials by Combustion // Mater. Sci. Rep. 1989. V. 3. P. 277–365.
23. Шевченко В.С. Исследование экзотермических механически стимулированных реакций в оксидно-сульфидных системах. Автореф. дис. к. х. н. Институт химии твердого тела и механохимии СО РАН. Новосибирск. 2003. 43 с.
24. Zakaryan M.K., Aydinyan S.V., Kharatyan S.L. Preparation of Fine-grained Silicon from Serpentine Mineral by Magnesiothermic Reduction of Silica in the Presence of Reaction Products as Diluents // Silicon. 2017. V. 9. P. 841–846.